

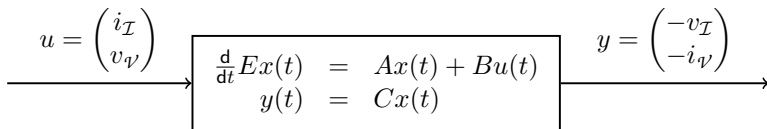
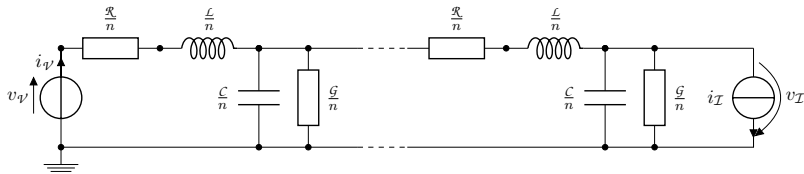
Funnel-Regelung für elektrische Schaltkreise

Thomas Berger, Timo Reis

Fachbereich Mathematik, Universität Hamburg

Elgersburg, 5. März 2014

Beispiel: RLC-Kettenglied



$$E = E^T \geq 0, \quad A + A^T \geq 0, \quad B = C^T$$

MNA-Modell

$$\frac{d}{dt}Ex(t) = Ax(t) + Bu(t), \quad y(t) = Cx(t)$$

$$sE - A = \begin{bmatrix} sA_C C A_C^\top + A_{\mathcal{R}} G A_{\mathcal{R}}^\top & A_{\mathcal{L}} & A_{\mathcal{V}} \\ -A_{\mathcal{L}}^\top & s\mathcal{L} & 0 \\ -A_{\mathcal{V}}^\top & 0 & 0 \end{bmatrix}, \quad B = C^\top = \begin{bmatrix} -A_{\mathcal{I}} & 0 \\ 0 & 0 \\ 0 & -I_{n_{\mathcal{V}}} \end{bmatrix}$$

$A_C, A_{\mathcal{R}}, A_{\mathcal{L}}, A_{\mathcal{V}}, A_{\mathcal{I}}$ – element-bezogene Inzidenzmatrizen
 C, G, \mathcal{L} – Beziehungen der Kapazitäten, Widerstände und Induktivitäten

passiv: $C = C^\top > 0, \mathcal{L} = \mathcal{L}^\top > 0, G + G^\top > 0$

l ist \mathcal{K} – **loop** $:\Leftrightarrow$ l ist Kreis im Graphen der nur Kanten aus \mathcal{K} enthält

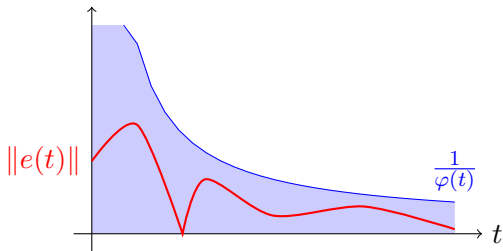
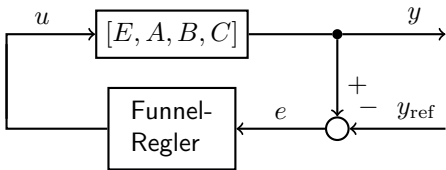
entspr. \mathcal{I} -loop, \mathcal{ICL} -loops, etc.

\mathcal{L} ist \mathcal{K} – **cutset** $:\Leftrightarrow$ durch Löschen von $\mathcal{L} \subseteq \mathcal{K}$ entsteht unzhgd. Graph und \mathcal{L} ist minimal

entspr. \mathcal{V} -cutset, \mathcal{VCL} -cutset, etc.

$$E\dot{x}(t) = Ax(t) + Bu(t)$$

$$y(t) = Cx(t)$$



Nulldynamik:

$$\mathcal{ZD} := \{ (x, u, y) \mid E\dot{x}(t) = Ax(t) + Bu(t), \quad y(t) = Cx(t) = 0 \}$$

\mathcal{ZD} autonom $:\Leftrightarrow$

$\forall w_1, w_2 \in \mathcal{ZD} \forall I \subseteq \mathbb{R}$ off. Interval :

$$w_1|_I = w_2|_I \implies w_1 = w_2$$

\mathcal{ZD} stabil $:\Leftrightarrow \forall w \in \mathcal{ZD} : \lim_{t \rightarrow \infty} w(t) = 0$

$\lambda \in \mathbb{C}$ ist invariante Nullstelle $:\Leftrightarrow$

$$\text{rk}_{\mathbb{C}} \begin{bmatrix} \lambda E - A & -B \\ -C & 0 \end{bmatrix} < \text{rk}_{\mathbb{R}(s)} \begin{bmatrix} sE - A & -B \\ -C & 0 \end{bmatrix}$$

Nullodynamik:

$$\mathcal{ZD} := \{ (x, u, y) \mid E\dot{x}(t) = Ax(t) + Bu(t), \quad y(t) = Cx(t) = 0 \}$$

\mathcal{ZD} autonom $:\Leftrightarrow$

$\forall w_1, w_2 \in \mathcal{ZD} \forall I \subseteq \mathbb{R}$ off. Interval :

$$w_1|_I = w_2|_I \implies w_1 = w_2$$

\mathcal{ZD} stabil $:\Leftrightarrow \forall w \in \mathcal{ZD} : \lim_{t \rightarrow \infty} w(t) = 0$

$\lambda \in \mathbb{C}$ ist invariante Nullstelle $:\Leftrightarrow$

$$\text{rk}_{\mathbb{C}} \begin{bmatrix} \lambda E - A & -B \\ -C & 0 \end{bmatrix} < \text{rk}_{\mathbb{R}(s)} \begin{bmatrix} sE - A & -B \\ -C & 0 \end{bmatrix}$$

Nulldynamik:

$$\mathcal{ZD} := \{ (x, u, y) \mid E\dot{x}(t) = Ax(t) + Bu(t), \quad y(t) = Cx(t) = 0 \}$$

\mathcal{ZD} autonom : \iff

$\forall w_1, w_2 \in \mathcal{ZD} \forall I \subseteq \mathbb{R}$ off. Interval :

$$w_1|_I = w_2|_I \implies w_1 = w_2$$

\mathcal{ZD} stabil : $\iff \forall w \in \mathcal{ZD} : \lim_{t \rightarrow \infty} w(t) = 0$

$\lambda \in \mathbb{C}$ ist invariante Nullstelle : \iff

$$\text{rk}_{\mathbb{C}} \begin{bmatrix} \lambda E - A & -B \\ -C & 0 \end{bmatrix} < \text{rk}_{\mathbb{R}(s)} \begin{bmatrix} sE - A & -B \\ -C & 0 \end{bmatrix}$$

Nulldynamik:

$$\mathcal{ZD} := \{ (x, u, y) \mid E\dot{x}(t) = Ax(t) + Bu(t), \quad y(t) = Cx(t) = 0 \}$$

\mathcal{ZD} autonom : \iff

$\forall w_1, w_2 \in \mathcal{ZD} \forall I \subseteq \mathbb{R}$ off. Interval :

$$w_1|_I = w_2|_I \implies w_1 = w_2$$

\mathcal{ZD} stabil : $\iff \forall w \in \mathcal{ZD} : \lim_{t \rightarrow \infty} w(t) = 0$

$\lambda \in \mathbb{C}$ ist invariante Nullstelle : \iff

$$\text{rk}_{\mathbb{C}} \begin{bmatrix} \lambda E - A & -B \\ -C & 0 \end{bmatrix} < \text{rk}_{\mathbb{R}(s)} \begin{bmatrix} sE - A & -B \\ -C & 0 \end{bmatrix}$$

Theorem (stabile Nulldynamik)

$[E, A, B, C]$ sei MNA-Modell eines Schaltkreises

$$\mathcal{ZD} \text{ stabil} \iff \left\{ \begin{array}{l} \bullet \mathcal{ZD} \text{ autonom} \\ \bullet \text{ alle invarianten NST} \subseteq \mathbb{C}_- \end{array} \right.$$

$$\mathcal{ZD} \text{ autonom} \iff \text{weder } \mathcal{I}\text{-loops noch } \mathcal{V}\text{-cutsets}$$

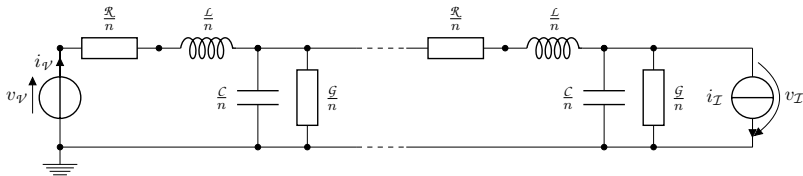
$$\text{alle inv. NST} \subseteq \mathbb{C}_- \iff \left\{ \begin{array}{l} \bullet \text{ weder } \mathcal{I}\mathcal{L}\text{-loops mit Ausnahme} \\ \text{von } \mathcal{I}\text{-loops, noch } \mathcal{V}\mathcal{C}\mathcal{L}\text{-cutsets mit} \\ \text{Ausnahme von } \mathcal{V}\mathcal{L}\text{-cutsets} \\ \bullet \text{ weder } \mathcal{V}\mathcal{C}\text{-cutsets mit Ausnahme} \\ \text{von } \mathcal{V}\text{-cutsets, noch } \mathcal{I}\mathcal{C}\mathcal{L}\text{-loops mit} \\ \text{Ausnahme von } \mathcal{I}\mathcal{C}\text{-loops} \end{array} \right.$$

\mathcal{ZD} autonom \iff weder \mathcal{I} -loops noch \mathcal{V} -cutsets

alle inv. NST $\subseteq \mathbb{C}_-$

\iff

- weder $\mathcal{I}\mathcal{L}$ -loops mit Ausnahme von \mathcal{I} -loops, noch $\mathcal{V}\mathcal{C}\mathcal{L}$ -cutsets mit Ausnahme von $\mathcal{V}\mathcal{L}$ -cutsets
- weder $\mathcal{V}\mathcal{C}$ -cutsets mit Ausnahme von \mathcal{V} -cutsets, noch $\mathcal{I}\mathcal{C}\mathcal{L}$ -loops mit Ausnahme von $\mathcal{I}\mathcal{C}$ -loops



Übertragungsleitung hat stabile Nulldynamik!

Theorem (Funnel-Regelung - stabile Nulldynamik)

$[E, A, B, C]$ sei MNA-Modell eines Schaltkreises mit

- \mathcal{ZD} stabil
- $y_{\text{ref}} \in \mathcal{B}^\infty(\mathbb{R}_{\geq 0}; \mathbb{R}^m)$

Dann erreicht der *Funnel-Regler*

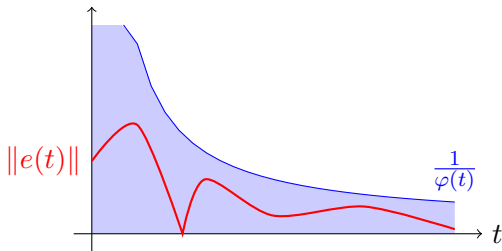
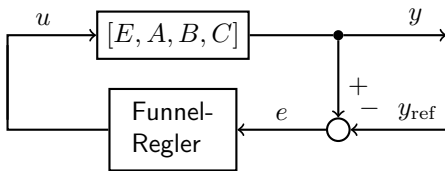
$$\begin{array}{l}
 u(t) = -k(t) e(t), \quad \text{wobei} \quad e(t) = y(t) - y_{\text{ref}}(t) \\
 k(t) = \frac{1}{1 - \varphi(t)^2 \|e(t)\|^2},
 \end{array}$$

angewendet auf $[E, A, B, C]$, dass

$$x \in L^\infty, k \in L^\infty \quad \wedge \quad \exists \varepsilon > 0 \quad \forall t > 0 : \|e(t)\| \leq \varphi(t)^{-1} - \varepsilon$$

$$E\dot{x}(t) = Ax(t) + Bu(t)$$

$$y(t) = Cx(t)$$



Theorem (Funnel-Regelung - stabile inv. NST)

$[E, A, B, C]$ sei MNA-Modell eines Schaltkreises mit

- alle invarianten Nullstellen $\subseteq \mathbb{C}_-$
- $y_{\text{ref}} \in \mathcal{B}^\infty \left(\mathbb{R}_{\geq 0}; \text{im } A_{\mathcal{I}}^\top \times \ker Z_{\text{CRLI}}^\top A_{\mathcal{V}} \right)$, wobei

$$\text{im } Z_{\text{CRLI}} = \ker [A_C \quad A_{\mathcal{R}} \quad A_L \quad A_{\mathcal{I}}]^\top$$

Dann erreicht der *Funnel-Regler*

$$\begin{aligned}
 u(t) &= -k(t) e(t), & \text{wobei} & \quad e(t) = y(t) - y_{\text{ref}}(t) \\
 k(t) &= \frac{1}{1 - \varphi(t)^2 \|e(t)\|^2},
 \end{aligned}$$

angewendet auf $[E, A, B, C]$, dass

$$x \in L^\infty, k \in L^\infty \quad \wedge \quad \exists \varepsilon > 0 \quad \forall t > 0: \|e(t)\| \leq \varphi(t)^{-1} - \varepsilon$$

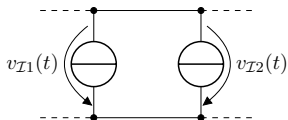
Interpretation von

$$y_{\text{ref}}(t) \in \text{im } A_I^T \times \ker Z_{CRLI}^T A_V \quad \forall t \geq 0$$

→ y_{ref} erfüllt die Kirchhoffschen Gesetze punktweise!



$$\Rightarrow i_{v1}(t) = i_{v2}(t)$$



$$\Rightarrow v_{I1}(t) = v_{I2}(t)$$

$$n = 50, \quad C = \mathcal{R} = \mathcal{G} = \mathcal{L} = 1, \quad y_{\text{ref}} = (\sin, \cos)^\top$$

$$\varphi : \mathbb{R}_{\geq 0} \rightarrow \mathbb{R}_{\geq 0}, \quad t \mapsto 0.5 te^{-t} + 2 \arctan t$$

